

논문 2000-9-1-02

## 초전형 적외선 센서용 P(VDF/TrFE) 막의 분극에 따른 유전특성의 변화

권성렬, 김영우\*, 배승춘\*, 박성근\*, 김기완\*

Dielectric characteristics with poling of P(VDF/TrFE) films  
for pyroelectric infrared sensor

Sung Yeol Kwon, Young Woo Kim\*, Seung Choon Baem\*, Sung Kun Park\* and Ki Wan Kim\*

## 요 약

스핀 코팅 방법으로 제조된 P(VDF/TrFE) 막의 유전적 특성을 조사하였다. 막의 결정성과 막질을 개선하기 위해 스핀 코팅 후에 3 단계에 걸친 열처리 공정을 하였다. 상부전극을 마스크로 사용하는 간단한 P(VDF/TrFE) 막의 식각공정과 조건을 확립하였다. 분극을 여러 단계에 걸쳐 하는 정확한 분극공정을 실현하였다. 스핀코팅으로 제조된 막의 두께는 용액농도 10 wt%, 스핀속도 3000 rpm, 스핀시간 30초에서  $1.87 \mu\text{m}$  였다. 제조된 P(VDF/TrFE) 막의 유전상수와 유전손실을 측정하였다. 1 kHz의 주파수에서 분극전 P(VDF/TrFE) 막의 유전상수는 13.5, 유전 손실은 0.042로 나타났으며 분극후 각각 11.5, 0.037로 나타났다.

## Abstract

Dielectric characteristics of P(VDF/TrFE) film manufactured using spin coating technique have been investigated. To improve the crystallinity and quality of film, the film was three step annealed. Simple etching process and conditions for P(VDF/TrFE) film were established using top electrode as a mask. Poling is performed by several steps.  $1.87 \mu\text{m}$  thick P(VDF/TrFE) films were obtained with conditions such that the solution of 10 wt% concentration was spun at 3000 rpm for 30 seconds. Before poling, dielectric constant and dielectric loss of P(VDF/TrFE) film were 13.5 and 0.042, respectively. After poling, dielectric constant and dielectric loss of P(VDF/TrFE) film were 11.5 and 0.037, respectively.

## I. 서론

압전 및 초전성을 나타내는 고분자로서 polyvinylidene fluoride[이하 PVDF로 약칭]가 Kawai에 의해 발견된 이후 이를 사용한 압력센서, 음향센서 및 초전형 센서에 대한 연구가 많이 진행되고 있다.<sup>[1]</sup>

경북대학교 센서공학과(Dept. of Sensor Eng., Kyung-pook National University)

\* 경북대학교 전자전기공학부(School of Electrical and Electronics Eng., Kyungpook National University)

<접수일자 : 1999년 8월 13일>

PVDF는 저가격, 낮은 열확산 계수, 얇은 두께 그리고 넓은 면적에 걸쳐 소자를 제작할 수 있는 장점이 있다. 그러나 TGS(triglycine sulphate) 나 다른 초전재료에 비해 낮은 초전계수라는 단점이 있다.<sup>[2]</sup> 이러한 단점을 극복하고 더 높은 반응도를 나타내기 위해서는 막의 두께가 수  $\mu\text{m}$  이하이어야만 한다. 그러나 PVDF가 초전성을 가지는  $\beta$  상의 결정구조가 되기 위해서는 물리적인 힘을 가하여 막을 스트레칭 시켜야 하고 이것이 바로 PVDF 막의 두께를 얇게 하는데 장애 요인이 되고 있다.<sup>[3]</sup>

P(VDF/TrFE) 막을 제조하는 방법으로서는 cast film 방법, co-extrusion 방법, 그리고 blown film 방법 등<sup>[3]</sup>이 있으나 본 연구에서는 막의 두께를 얇고 균일하게 제조할 수 있는 방법으로서 스핀 코팅 방법을 사용하여 막을 제조하였다.

P(VDF/TrFE) 막은 PVDF와는 달리 스트레칭 없이도 초전성을 나타내는 것으로 보고되고 있다.<sup>[4,7,13]</sup> 그러므로 P(VDF/TrFE) 막은 압력센서, 음향센서 및 초전형 센서에 응용 가능하다.<sup>[5-7,13]</sup>

막의 유전적 특성을 조사하기 위하여 알루미늄으로 상·하전극을 각각 진공증착하였다. 하부전극 위에 스핀코팅 방법으로 제조된 P(VDF/TrFE) 막의 결정성 증가를 위해 열처리하였다. 상부전극 증착 후 막내의 C-F 쌍극자들을 한쪽 방향으로 배향시켜 주기 위해 제조된 막을 분극하였다.<sup>[4]</sup>

본 연구에서는 추후 어레이 센서로의 제조 가능성을 확인하기 위해 제조된 P(VDF/TrFE) 막의 식각 방법 및 결과에 대하여도 조사하였다. 이 막의 분극전과 분극후 그리고 온도변화에 따른 막의 유전특성을 조사하였다.

## II. 실험 및 측정

### 1. 하부전극 및 P(VDF/TrFE) 막 증착

VDF 함량이 65 wt%인 프랑스 Piezotech S. A. 사의 P(VDF/TrFE) 분말을 사용하였다. 이러한 비율의 P(VDF/TrFE) 분말은 결정성, 잔존분극도, 그리고 작은 유전상수를 나타내는 장점이 있다. 1.0 g의 P(VDF/TrFE) 분말을 9.0 ml의 2-butanone (methylmethylethylketone)을 용매로 사용하여 80 °C의 온도에서 1시간동안 용해시켜 10 wt%의 P(VDF/TrFE) 용액이 되도록 하였다. P(VDF/TrFE) 분말을 완전히 용해 시킨뒤 천천히 실내 온도로 냉각시켰다.

P(VDF/TrFE) 막을 스핀코팅 방법으로 제조할 때 사용할 기판으로는 소자제작이 용이한 실리콘을 사용하였다. 실리콘위에 실리콘산화막을 절연층으로 증착하였다. 실리콘산화막위에 알루미늄을 하부전극으로 증착하였다. 스핀코팅법으로 제조되는 P(VDF/TrFE) 막의 두께는 용액의 농도, 스핀속도 그리고 스핀시간에 의하여 결정된다.<sup>[7,8]</sup> 스핀코팅을 두단계로 나누어 실시하였다. 첫단계는 느린 스핀 속도( $n_1$ )와 빠른 스핀 시간 ( $t_1$ )으로 용액이 하부전극위에 골고루 펴질 수 있도록

하였다. 두 번째 단계에서는 원하는 막의 두께를 얻기 위해 더 빠른 스핀 속도( $n_2$ )와 오랜 스핀시간( $t_2$ )을 적용하였다. 제조된 막의 두께 측정은  $\alpha$ -step 200 (Tencor Co.)을 사용하여 측정되었다.

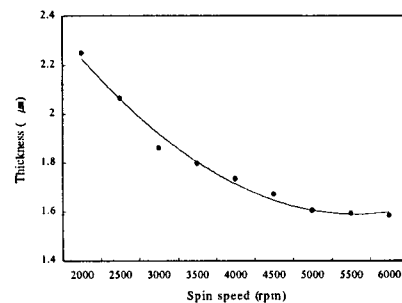


그림 1. 스핀 속도에 따른 P(VDF/TrFE) 막의 두께

Fig. 1. The thickness of P(VDF/TrFE) copolymer films vs spinning speed.

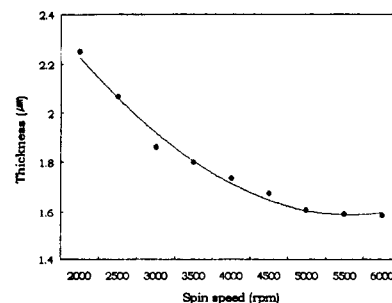


그림 2. 스핀 시간에 따른 P(VDF/TrFE) 막의 두께

Fig. 2. The thickness of P(VDF/TrFE) copolymer films vs spinning speed.

그림 1은 두번째 단계의 스핀속도의 변화에 따른 막의 두께를 나타내고 있다. 그림 1에서의  $n_1$ 은 500 rpm,  $t_1$ 은 2초, 그리고  $t_2$ 는 30초로 하였다. 그림 2는 두 번째 단계의 스핀시간에 따른 두께를 나타내고 있다. 그림 2에서의  $n_1$ 은 500rpm,  $t_1$ 은 2초, 그리고  $n_2$ 는 3000rpm으로 하였다. 제조된 P(VDF/TrFE) 막의 두께는 스핀속도와 스핀시간의 증가에 따라 선형적으로 감소함을 나타내었다.

그림 1과 그림 2의 결과에서 나타나듯이 스핀코팅을 이용한 P(VDF/TrFE) 막의 두께는 1.6 μm에서 2.3 μm 사이로 나타났다. 이러한 비교적 얇은 두께는 적외선 센서재료로 사용될 경우 잡음을 더욱 감소 시킬 수 있을것이라 생각된다.

## 2. 열처리

P(VDF/TrFE) 막은 부분적인 결정성과 비정질 구조로 되어있다.<sup>[4]</sup> 스픈코팅으로 인하여 용액 상태로부터 온도의 냉각으로 인한 막상태가 되면서 막은 국부적인 스트레스를 가지게 된다.<sup>[8]</sup> 이러한 막 내부의 스트레스 제거와 막의 광학적, 전기적 성질의 개선을 위하여 두 단계의 열처리를 하였다.<sup>[7]</sup> 첫 번째 단계에서는 스픈코팅된 막 내부의 남아있는 2-butanone 용매의 증발과 건조를 위해서 24시간 동안 실내온도에서 건조하였다. 두 번째 단계에서는 제조된 P(VDF/TrFE) 막의 결정성 증가, 스트레스 해소를 위해 120 °C에서 2시간 동안 열처리하였다.<sup>[7]</sup> 이러한 과정을 거친 후의 제조된 막은 광학적으로 투명한 상태가 되며 더욱더 단단한 막질을 형성하게 되었으며 1000 Å 정도의 두께 감소를 나타내었다. 지금까지의 열처리 공정은 다른 유전체 물질의 열처리 온도 보다 낮은 온도에서 이루어지기 때문에 실제 소자 제작 시에 많은 이점이 있을 것이라 생각된다.<sup>[9][11]</sup>

## 3. 상부전극 증착

P(VDF/TrFE) 막은 열에 약하기 때문에 상부전극을 진공증착할 때 발생하는 열로 인해 손상을 입게 되어 상·하전극이 단락되게 된다. 그러므로 진공증착시 기판과 소스사이를 충분한 거리로 유지해야 하며 보다 정확한 공정조건 제어가 필요하였다.

## 4. 후 열처리

앞에서 설명한 바와 같이 P(VDF/TrFE) 막을 실내온도에서 24시간 그리고 120 °C에서 2시간 열처리하였다. 그러나 이러한 열처리 공정에서 P(VDF/TrFE) 막과 상부전극과의 접착과 더욱 더 좋은 결정성 증가<sup>[4]</sup>를 위하여 추가적인 열처리 과정이 필요하다. 상부전극이 증착된 소자를 P(VDF/TrFE) 막의 용융점 근처인 160 °C에서 10분간 다시 열처리하였다. 이러한 열처리 과정으로 하부전극과 P(VDF/TrFE) 막 그리고 상부전극의 접착이 더욱 향상되었다.

## 5. 식각

본 실험에서의 P(VDF/TrFE) 막의 전기적 특성 측정뿐만 아니라 추후 어레이 소자로서의 적용을 위하여 P(VDF/TrFE) 막은 반드시 식각되어야 한다.<sup>[1,3,5,8]</sup> 상부전극을 마스크로 이용하여 P(VDF/TrFE) 막을

식각하였다. 2-butanone 용액을 식각액으로 사용하였으며 온도 30 °C에서 70 °C에서의 식각 결과를 조사하였다. 식각액의 온도가 높아짐에 따라 급속히 식각 속도가 빨라졌다. 막의 최저 식각 속도는 30°C의 온도에서 2 μm/min로 나타났다. 30 °C 이상 온도에서의 식각은 용매의 급속한 증발과 빠른 식각속도로 인해 식각 후 남아있는 막에 영향을 미치며 P(VDF/TrFE)막과 하부전극, 상부전극과의 응착에도 영향을 미치는 것으로 나타났다. 그림 3은 상부전극을 마스크로 P(VDF/TrFE)막을 식각한후의 SEM 사진을 나타내고 있다. 맨위의 밝은면은 상부전극으로 사용한 알루미늄이며 바로 밑은 P(VDF/TrFE) 막 그리고 SiO<sub>2</sub>를 나타내고 있다. SiO<sub>2</sub> 면위에 작게 표시되는 누에모양으로 나타난 것은 식각후 식각되지 못하고 남아있는 P(VDF/TrFE)이다.

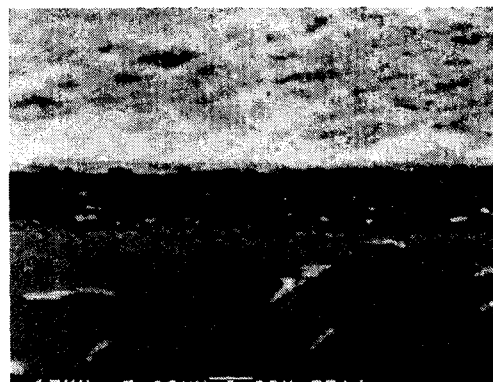


그림 3. P(VDF/TrFE) 막의 식각후 SEM 사진

Fig. 3. SEM photograph of P(VDF/TrFE) film after etching.

## 6. 분극

P(VDF/TrFE) 막은 PVDF막과는 달리 스트레칭 공정이 필요 없으며 분좌쇄가 모두 trans형 사슬배좌를 하는 전기활성 강유전  $\beta$ -결정구조를 가진다.<sup>[4]</sup> 그러나 강유전  $\beta$  결정 상일지라도 C-F 에 의한 쌍극자들이 불규칙하게 배향되어 있기 때문에 그 자체로는 압전성 및 초전성 재료로 사용하기에는 부적합하다. 막에 높은 전장을 걸어 주어 C-F 쌍극자를 한쪽 방향으로 배향시켜 주는 분극이라는 공정을 거쳐야 한다. P(VDF/TrFE) 의 분극공정으로는 열분극, 코로나분극, 전자빔을 이용한 방법등<sup>[3]</sup>이 있으나 본 실험에서는 DC 전계에 의한 열분극공정을 행하였으며 분극중에 발생

할 수 있는 막의 브레이크다운 현상을 피하고 최대 전계를 막에 가해 주기 위해 여러 단계로 나누어 분극을 행하였다.

60 °C의 온도에서 막에 순차적으로 20 V부터 100 V까지 20 V의 증가치로 분극을 행하였다. 각각의 분극 시간은 8분이었으며 각 단계 사이에 분극에 의한 스트레스 제거를 위해 4분씩 상하전극을 서로 단락시켰다. 그림 4는 본 실험에서 행한 분극의 전계와 시간에 따른 그래프를 나타내었다.

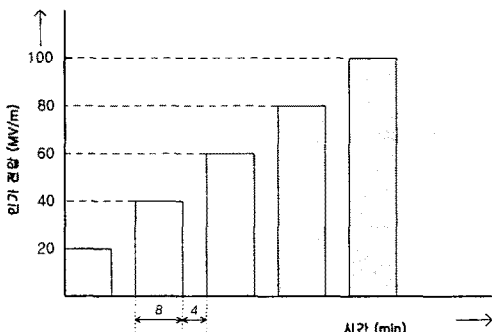


그림 4. P(VDF/TrFE) 막의 분극 조건

Fig. 4. Poling conditions for P(VDF/TrFE) film.

## 7. 유전율 측정

제조한 P(VDF/TrFE) 막의 인가전계 의존성을 살펴보기 위하여 유전특성에 대한 실험을 하였다. 온도의 변화에 따른 비유전율의 변화를 측정하기 위해 온도를 상온(25 °C)에서 110 °C 까지 올리면서 측정하였다. 임피던스 분석기 (HP4192A)를 사용하여 정전용량 (capacitance)과 유전정접특성 (dielectric dissipation factor)을 측정하였다. 또한 비유전율은 측정된 정전용량값을 이용하여 계산에 의하여 얻었으며 이때 시편의 두께는 2 μm 이었다. 각각의 P(VDF/TrFE) 막에 대한 주파수의 변화에 따른 비유전율 (dielectric constant)과 유전정접 특성을 그림 5와 그림 6에 나타냈다. 그림 5에서 나타난 바와 같이 측정 주파수의 증가에 따라 각각의 P(VDF/TrFE) 막의 비유전율이 감소하고 있는 것을 알 수 있다. 이러한 결과는 막내의 쌍극자가 주의의 매질이나 다른 쌍극자들로부터 속박을 받고 있기 때문에 외부 교변전계의 극성 변화에 빨리 대응하지 못하기 때문에 발생되는 이상 분산 (anomalous dispersion)의 형태를 띠고 있음을 나타내 주는 결과이다.<sup>[12]</sup>

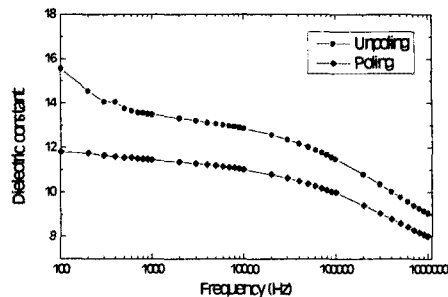


그림 5. P(VDF/TrFE) 막의 분극전, 분극후의 주파수에 따른 유전상수

Fig. 5. Dielectric constant of the P(VDF/TrFE) film vs frequency before and poling, respectively.

그림 6에서 나타난 바와 같이 주파수가 증가함에 따라 유전손실이 증가함을 알 수 있다. 낮은 유전 손실값은 탐지능 (detectivity)의 값을 증가시킨다. 분극전 최소 값은 300 ~ 400 Hz에서 0.029로 나타났으며 분극 후에는 0.028로 나타났다. 이것은 이전에 보고된 연구 결과와 잘 일치하고 있다.<sup>[3]</sup> 그림 7은 P(VDF/TrFE) 막의 온도변화에 따른 분극전, 분극후 1 kHz에서의 유전상수를 나타내었다. 분극전 최대 유전상수는 75 °C에서 나타났으며, 분극후 최대 유전상수는 78 °C에서 나타났다.

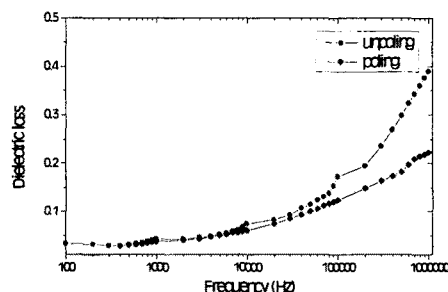


그림 6. P(VDF/TrFE) 막의 분극전, 분극후의 주파수에 따른 유전손실

Fig. 6. Dielectric loss of the P(VDF/TrFE) film vs frequency before and poling, respectively.

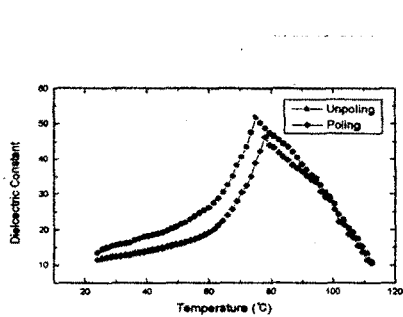


그림 7. P(VDF/TrFE) 막의 온도변화에 따른 분극전, 분극후 유전상수

Fig. 7. Dielectric constant of the P(VDF/TrFE) film vs temperature before and poling, respectively.

### III. 결론

초전형 적외선 센서용 P(VDF/TrFE) 막의 두께를 얇고 균일하게 제조 할 수 있는 스픬 코팅 방법을 사용하여 막을 제조하였다. 막의 두께는 용액의 농도, 스플속도, 그리고 스플시간에 의하여 결정됨을 살펴보았다. 스플코팅을 두단계로 나누어 실시함으로서 보다 균일하고 양질의 막을 제조 할 수 있었다. 3단계에 걸친 열처리 공정으로 인하여 하부전극과 P(VDF/TrFE) 막 그리고 상부전극의 응착을 더 좋게 하며 P(VDF/TrFE)의 결정성과 막질을 더욱 개선 할 수 있었다. 용융점이 낮은 중합체 물질에 전극을 증착하는데 발생할 수 있는 스파이크 현상이나 기타 중합체가 증착되는 물질의 높은 녹는점으로 인한 소자 제작의 어려움을 개선하였다. 추후 어레이 소자로서의 제조에 필요한 식각공정을 시험하였으며 따로 P(VDF/TrFE) 막을 보호하기 위한 마스크를 사용하지 않고 상부전극을 마스크로 사용하는 간단한 식각공정과 조건을 확립하였다. P(VDF/TrFE) 막내의 쌍극자들을 배향시키는 분극을 여러 단계로 나누어 함으로서 막의 절연파괴되는 현상을 피하고 보다 정확한 분극 공정을 실현하였다. 제조된 막의 인가 전계 의존성을 알기 위해 유전특성을 측정하였다. 분극전 유전상수는 23 °C에서 1 kHz에 대해 13.5, 유전 손실은 0.042로 나타났다. 그리고 분극후 유전상수는 11.5, 유전손실은 0.037로 나타났다.

### IV. 참고문헌

- [1] P. C. A. Hammes and P. P. L. Regtien, "An integrated infrared sensor using the pyroelectric polymer PVDF", Sensors and Actuators A. 32, pp. 396-402, 1992.
- [2] 김진식, "센서용 PVDF의 유전, 초전 및 압전특성에 관한 연구", 인하대학교 대학원 항공공학과 박사학위 청구논문, 1992.
- [3] R. W. Whatmore, "Pyroelectric devices and materials", Rep. Prog. Phys. vol. 49, pp. 1335-1386, 1986.
- [4] 이승백, "강유전성 VDF/TrFE 공중합체의 등온결정화 및 상전이 거동에 미치는 전장의 효과", 경희대학교 대학원 섬유공학과 석사학위 청구논문, 1995.
- [5] W. Ruppel, "Pyroelectric sensor arrays on silicon", Sensors and Actuators A. 31, pp. 225-228, 1992.
- [6] R. Kohler, N. Neumann, and G. Hofmann, "Pyroelectric single-element and linear-array sensors based on P(VDF/TrFE) thin films", Sensors and Actuators A. 45, pp. 209-218, 1994.
- [7] D. Setiadi, P.P.L. Regtien, and P.M Sarro, "Application of VDF/TrFE copolymer for pyroelectric image sensors", Sensors and Actuators A. 41-42, pp. 585-592, 1994.
- [8] W. von Munch, M. Nagele, M. Rinner and G. Wohl, B. Ploss and W. Ruppel, "P(VDF/TrFE) copolymer films for the fabrication of pyroelectric arrays", Sensors and Actuators A. 37-38, pp. 365-369, 1993.
- [9] C. Lucat, F. menil, and R. Von Der Muhll, "Thick-film densification for pyroelectric sensors". Meas. Sci. Technol. vol. 8, pp. 38-41, 1997.
- [10] Andrzej Lozinski, Fan Wang, Antti Uusimaki and Seppo Leppavuori, "PLZT Thick films for pyroelectric sensors", Meas. Sci. Technol. vol 8, pp. 33-37, 1997

- [11] C. C. Chang, C. S. Tang, "An integrated pyroelectric infrared sensor with a PZT thin film", *Sensors and Actuators A*. **65**, pp. 171-174, 1998.
- [12] 방태찬, 김종경, 강대하, "VDF/TrFE 공중합체의 히스테리시스 및 온도특성", *The Journal of the Korean Institute of Electrical and Electronic Materials Engineers*, vol. 10, No. 2, pp. 156-165, 1997
- [13] 권성렬, 김기완 "P(VDF/TrFE) 필름을 이용한 초전형 적외선 센서의 제작 및 특성", *센서학회지* 제8권 제3호, pp. 226-231, 1999.

---

### 著 者 紹 介

---

**권 성 렬**

『센서학회지 제8권 제3호』 논문 99-8-3-03 p.16 참조

**박 성 근**

『센서학회지 제8권 제3호』 논문 99-8-3-11 p.73 참조

**김 영 우**

『센서학회지 제8권 제3호』 논문 99-8-3-11 p.73 참조

**김 기 완**

『센서학회지 제1권 제1호』 논문 92-01 p.8 참조

현재 경북대학교 전자전기공학부 교수

**배 승 춘**

『센서학회지 제8권 제3호』 논문 99-8-3-11 p.73 참조